

# SAMURAIとTPC

## 現状と将来

京都大学大学院理学研究科  
村上哲也

# ～80の日本の核物理の状況

ほんとに原子核を理解したのか？

NUCLEARPHYSICS

核構造

低エネルギー核現象

UNCLEARPHYSICS

核物質  
核 力

高エネルギー重イオン反応

新しい窓を開いて地平を拓く

UNCLEARPHYSICSへの挑戦

1975 NUMATRON計画

高エネルギー重イオン物理

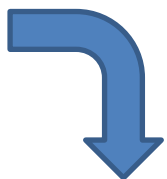
坂井、杉本、山口、山崎

高エネルギー重イオン加速

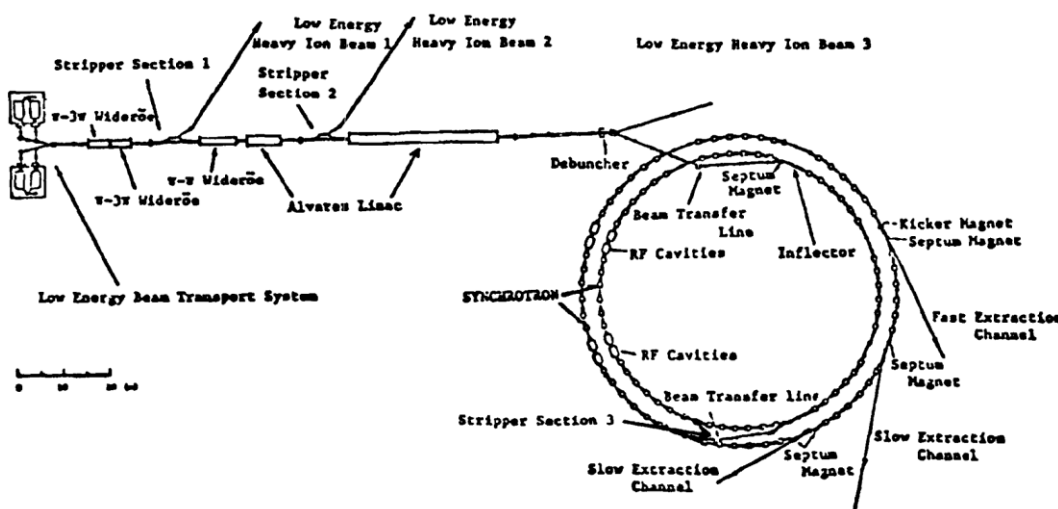
平尾

中井浩二氏の 幻の「NUMATRON」が拓いた原子核研究の地平

より



## Bevalac /Berkeley



Layout of NUMATRON

### Numatron Parameters

#### A. Particle, Energy and Intensity

Particle	Max. Energy (GeV/u)	Intensity (pps)
$U^{92+}$	1.27	$\sim 10^9$
$Kr^{36+}$	1.47	$\sim 10^{11}*$
$Ne^{10+}$	1.81	$\sim 10^{11}*$

\*Space Charge Limit

#### B. Injector

Injector	T/A(MeV)	Freq. (MHz)	$\beta(v/c)$	$\epsilon(q/A)$
Cockcroft-Walton (500 KV)	0.0147	—	0.006	0.029( $U^{7+}$ )
Wideröe ( $\pi-3\pi$ )	0.146	25	0.018	—
Wideröe ( $\pi-3\pi$ )	0.305	25	0.026	—
Stripping	—	—	—	0.067( $U^{16+}$ )
Wideröe ( $\pi$ )	1.10	25	0.048	—
Alvarez	1.60	100	0.059	—
Stripping	—	—	—	0.193( $U^{46+}$ )
Alvarez	10.0	100	0.146	—

#### C. 1st Synchrotron

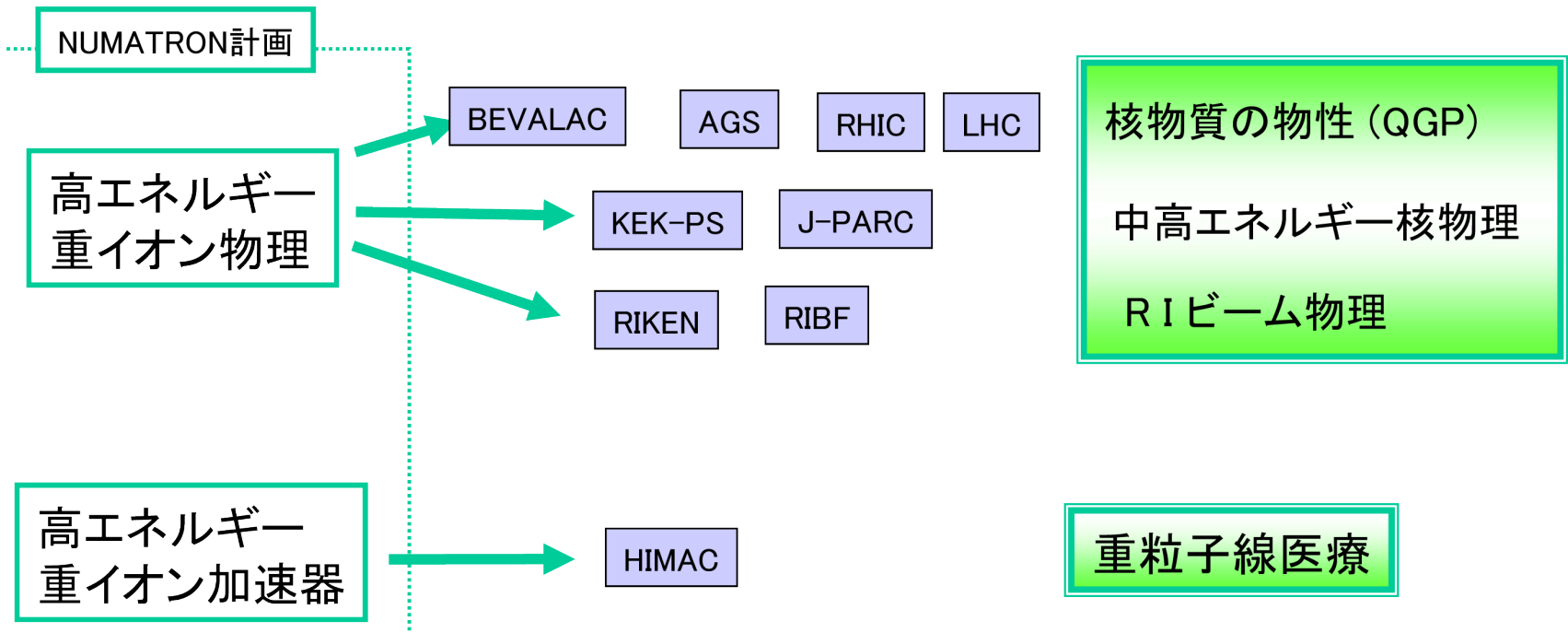
Injection Energy	10 MeV/u
Maximum Energy	250 MeV/u
Repetition Rate of RF Stacking	100
Momentum Spread of Stacked Beam	$\pm 0.7\%$
Useful Aperture	radial vertical
Vacuum	18 cm 5 cm
Space Charge Limit	$2 \times 10^{-11}$ torr
Number of Particles/sec	

#### D. 2nd Synchrotron

Guide Field ( $B_{max}$ )	18.0 kG
Quadrupole Field ( $dB/dr$ ) <sub>max</sub>	1.38 kG/cm
Repetition Rate	1 Hz
Magnetic Radius	9.55 m
Average Radius	33.6 m
Circumference	211.2 m
Number of Normal Periods	24
Number of Long Straight Sections	8
Focusing Structure	FODO
Useful Aperture	radial vertical
Number of Betatron Oscillations	3.5 cm
Phase Advance per Normal Period	6.25
Vacuum	70° $1 \times 10^{-9}$ torr

1981 TRISTAN建設開始

→ 原子核研究計画見直し



中井浩二氏の「幻の「NUMATRON」が拓いた原子核研究の地平

より

# 90年代初め

日本で高温高密原子核?!

@RARF? >>> 人も物(検出器)もない

## 理研リングサイクロトロン建設計画

一期工事(1980－1986) ファーストビーム(1986)

二期工事(1987－1988) ビーム利用の開始 (1989)

代表者、上坪宏道、

加速器グループ：矢野安重、後藤彰、加瀬昌之、藤沢高志、元永昭七など

施設インフラ・ビームライン：稻村卓、畠中吉治、市原卓など

主要実験計画の設定(1984)：編成責任者(石原放射線研主任研究員)

vs. 世界の動向：高温高密度原子核に集中！→「異分野を狙え！」

八木浩介核物理委員長→宮島龍興理事長；「外部研究者にも開放して！」

GARIS-IGISOL：代表者、野村 享(核研)；超重元素探査

成功：森田浩介ほか、超重元素113の発見(200x)、

全国区

SMART ; 代表者、大沼 甫(東工大)；高分解能荷電粒子分光

成功：酒井英行ほか、偏極重水素ビーム→3体力の研究

全国区

ASHURA ; 代表者、李 相茂(筑波大)；高温高压原子核

失敗：後発性→競争力不足→中絶

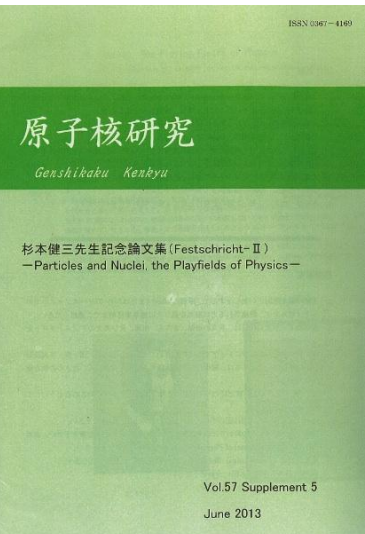
RIB(→RIPS) ; 代表者、石原正泰(理研)；RIビーム物理

理研：久保、  
旭、石原

触発：Bevalac 実験(谷畑、杉本他) — RIビーム物理懐籠期

成功：RIビーム物理分野の形成@RIPS — RIビーム物理第2世代

RIビーム物理分野の拡張@RIBF — RIビーム物理第3世代



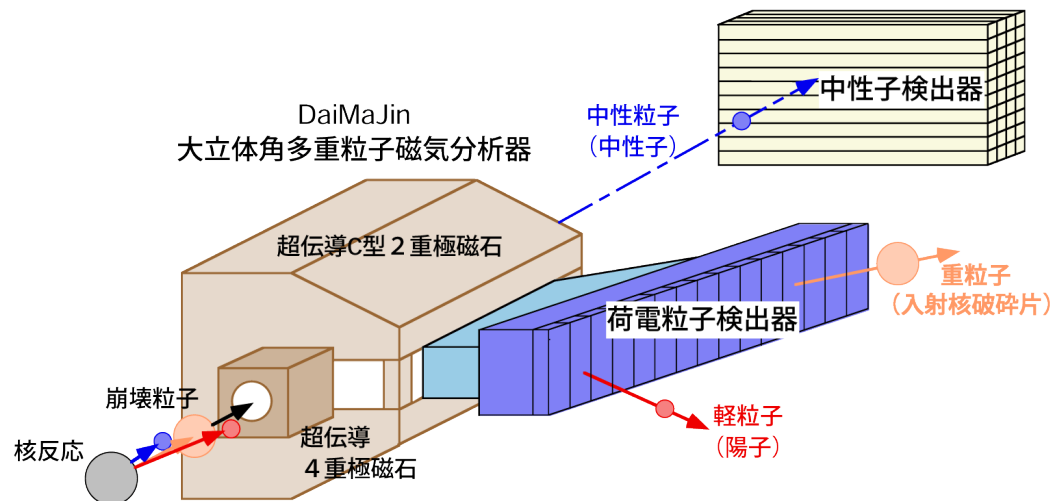
石原正泰氏

杉本先生と理研の原子核研究

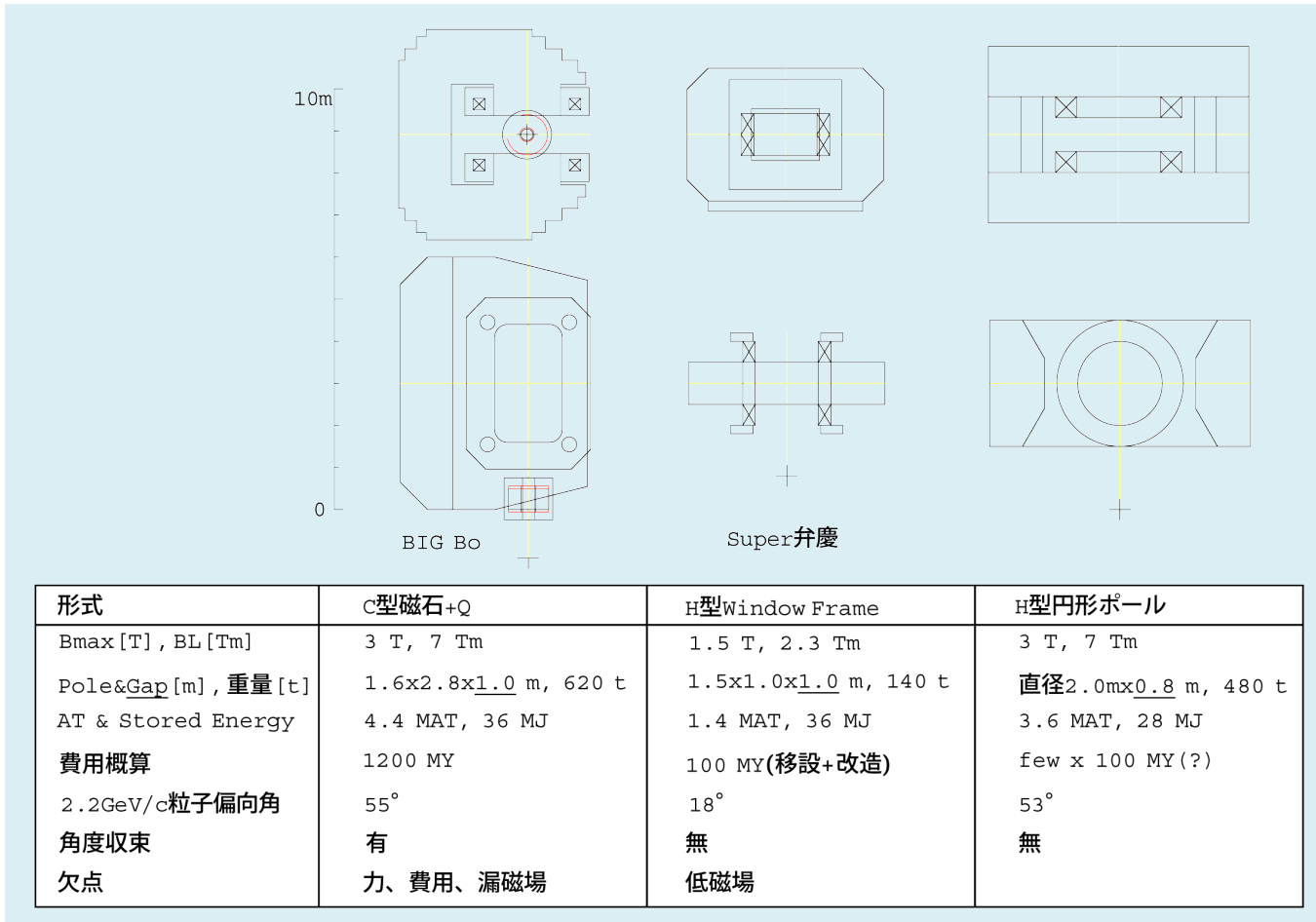
# RIBF用 新実験装置 2000～

大立体角多重粒子磁気分析器 : DaiMaJin  
Dai-Rittaikaku Multi-Particle Jiki-Bunnsekiki

小林： 磁気分析器  
中村： 中性子検出  
上坂： 偏極重陽子



# 予算面で振り回される



# HISS @ LBL / Bevalac

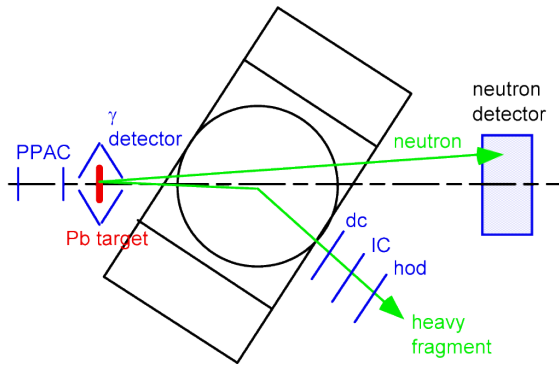


そっくりさんは作りたくない by 小林

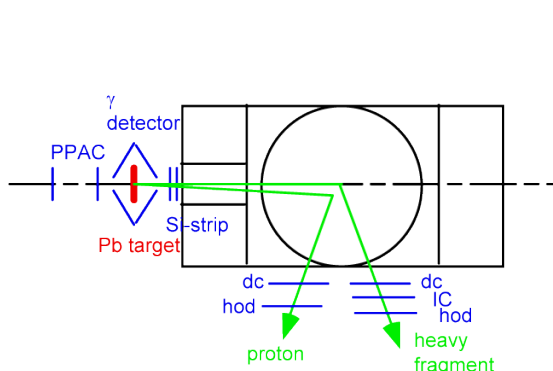
# 結局

# Request of Budget

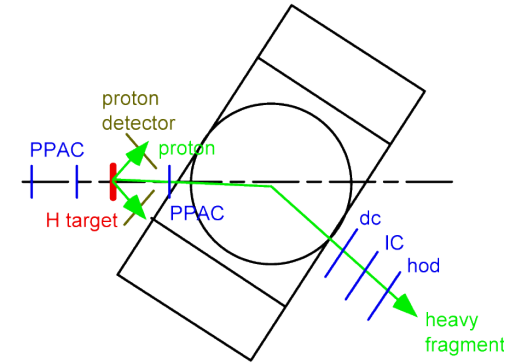
$(\gamma, n)$  reaction: neutron-rich side



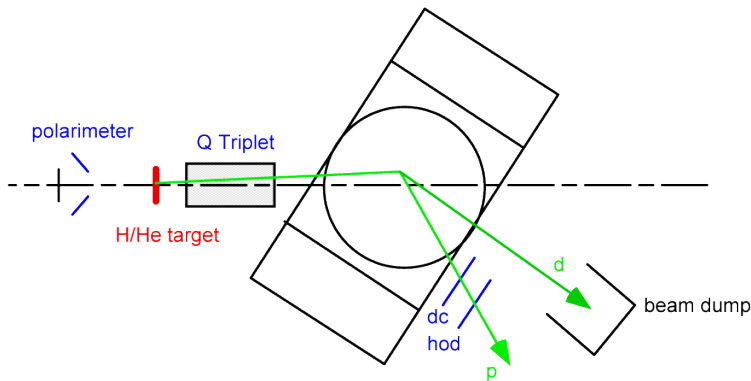
$(\gamma, p)$  reaction: proton-rich side



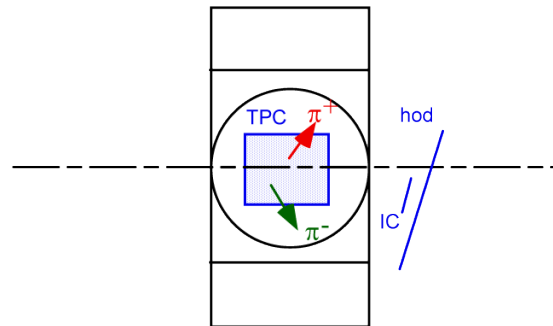
$(p, p')$ ,  $(p, 2p)$  etc.



Pol. d-induced reaction

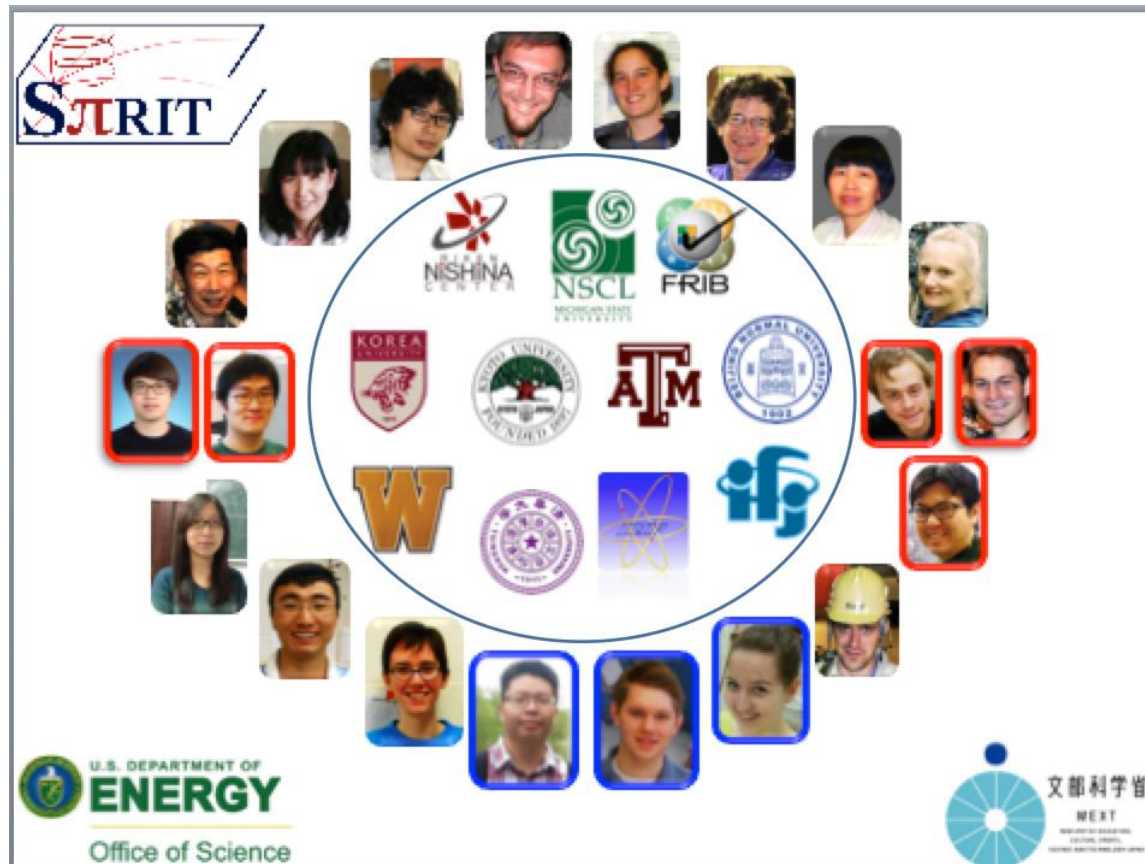


EOS measurement



# High density matter in neutron stars investigated through nucleus–nucleus collision

## SAMURAI Pion Reconstruction and Ion-Tracker



# Nuclear Equation of State

$$E(\rho, \delta) = E(\rho, 0) + E_{sym}(\rho) \delta^2 + o(\delta^4)$$

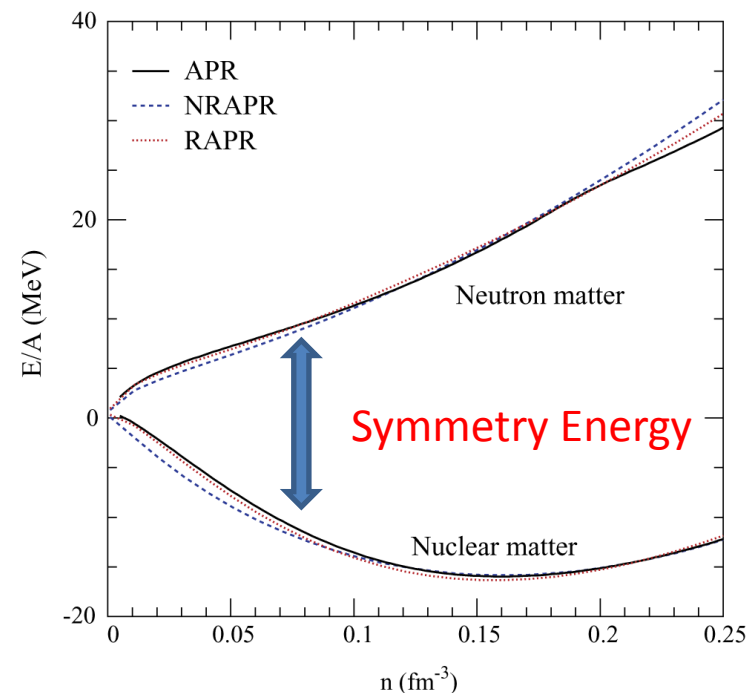
$$\delta = (\rho_n - \rho_p) / \rho$$

$$E_{sym}(\rho) = E_{sym}(\rho_0) + L\varepsilon + \frac{K_{sym}}{2} \varepsilon^2 + o(\varepsilon^3)$$

$$\varepsilon = (\rho - \rho_0) / 3\rho_0$$

$$S_0 = E_{sym}(\rho_0) \Rightarrow J; sometimes$$

$$L = 3\rho_0 \frac{\partial E_{sym}(\rho)}{\partial \rho} \Big|_{\rho=\rho_0} = (3/\rho_0) P_0$$

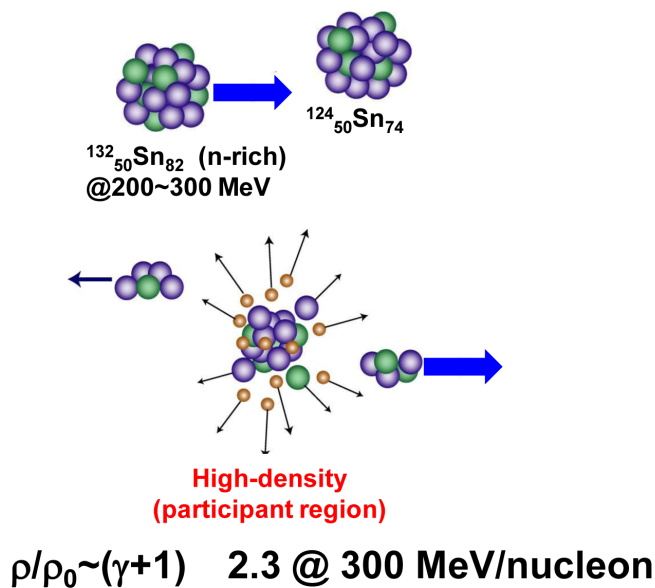


A.W. Steiner et al., Phys. Reports 411 (2005) 325

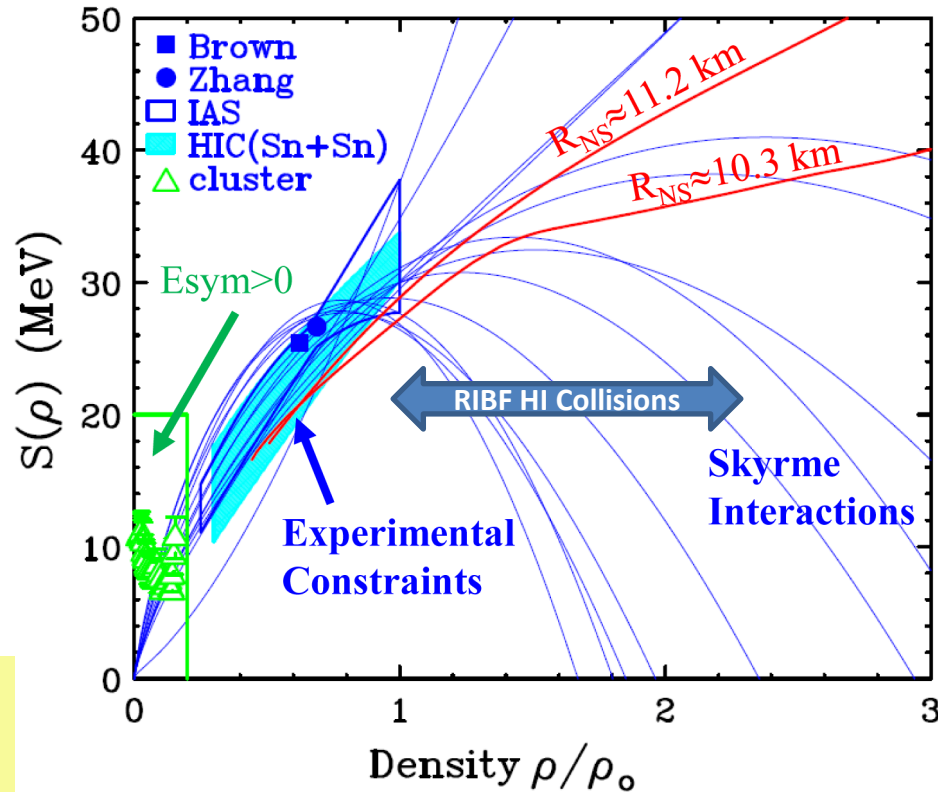
# Almost all we want to measure

Primary	Beam	Target	$E_{\text{beam}}/A$	$\delta_{\text{sys}}$	Goal	Days
238U	$^{132}\text{Sn}$	$^{124}\text{Sn}$	300	0.22	Probe maximum $\delta$	3
	$^{124}\text{Sn}$	$^{112}\text{Sn}$	300	0.15	Probe intermed. $\delta$	3
124Xe	$^{108}\text{Sn}$	$^{112}\text{Sn}$	300	0.09	Probe minimum $\delta$	3
	$^{112}\text{Sn}$	$^{124}\text{Sn}$	300	0.15	Probe intermed. $\delta$	3

SAMURAI15  
SAMURAI22



Change initial  $(N/Z)p_{\text{proj}}$   $(N/Z)_{\text{target}}$  combination  
to see the change of participant.



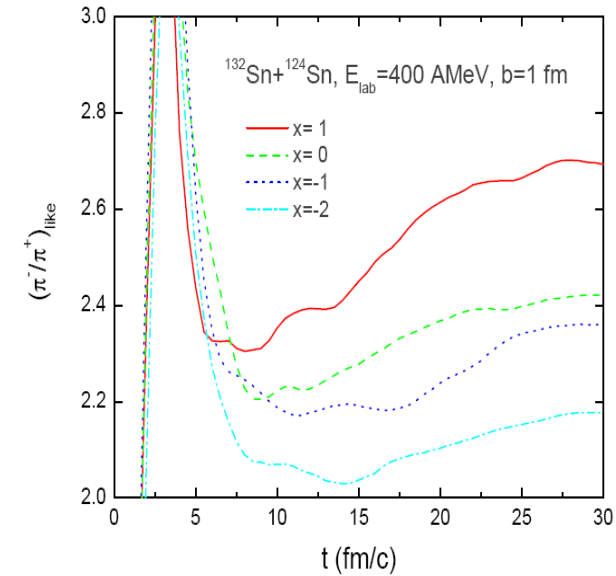
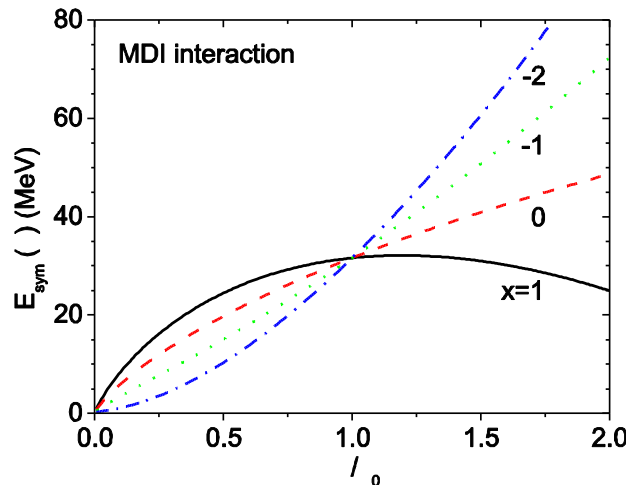
# Influence of symmetry pressure: Possible Probe

The symmetry pressure expels neutrons from and attracts protons to high density region of neutron-rich system.



Prediction of  
transport theory

Suppress  $\Upsilon(n)/\Upsilon(p)$ ,  
 $\Upsilon(\pi^-)/\Upsilon(\pi^+)$ , etc.



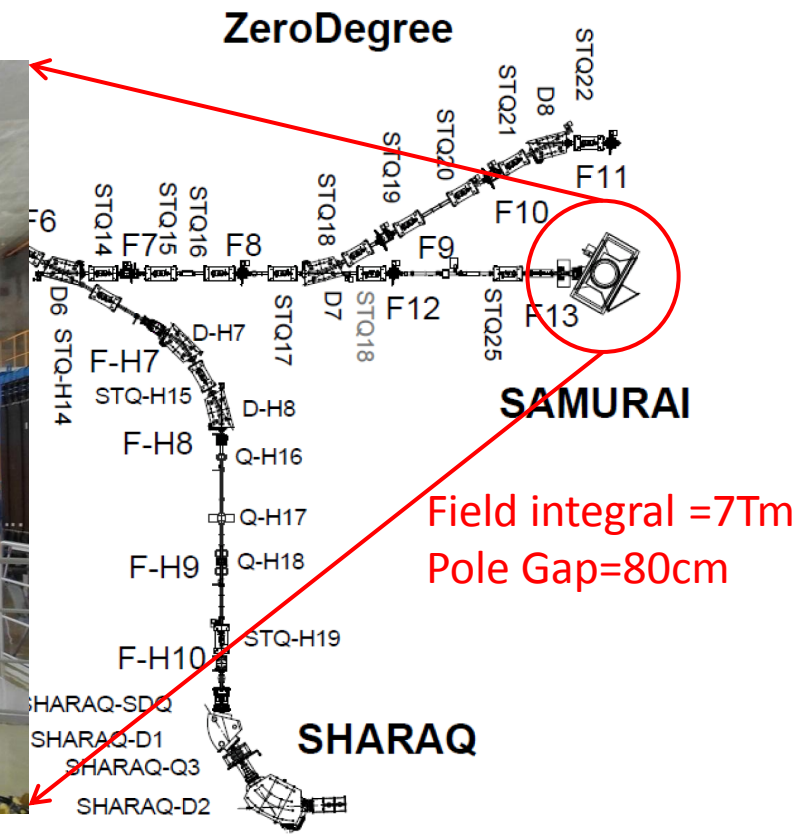
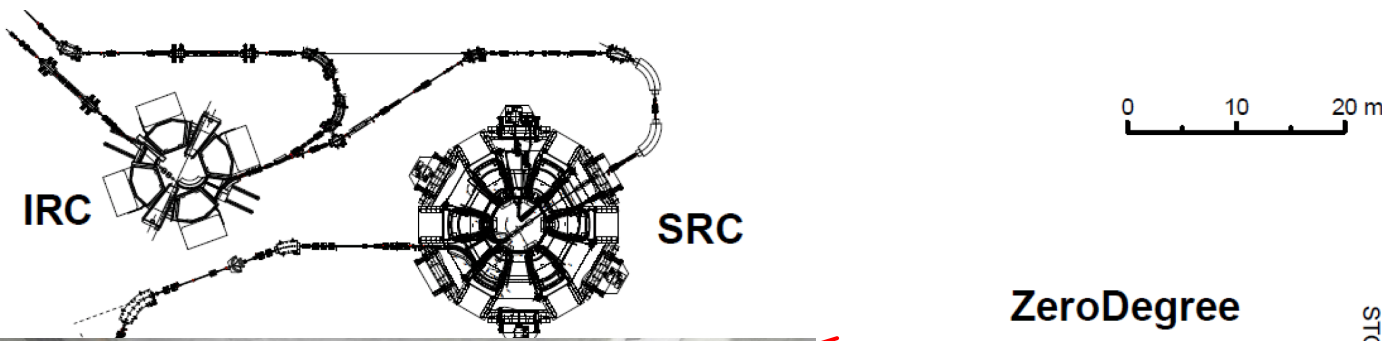
Bao-An Li et al., Phys. Rev. C 71, 014608 (2005)

One of good probes

$\pi^- - \pi^+$  production ratio from HI collisions in wide range of  $\delta$

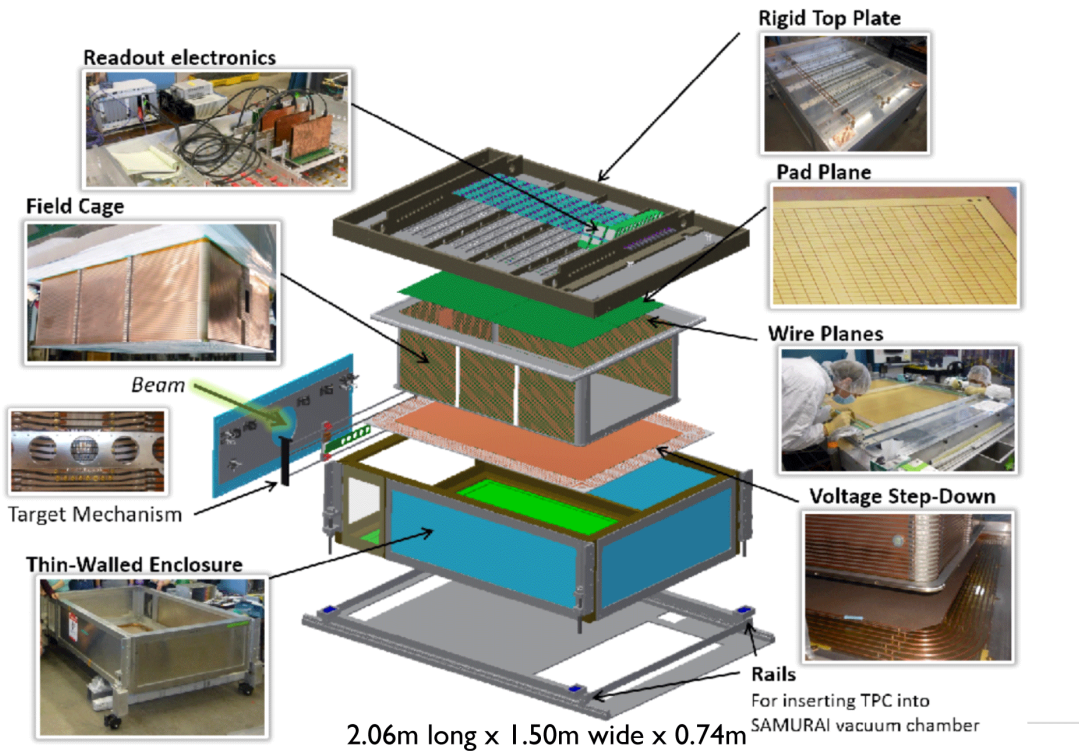
# SAMURAI

## Superconducting Analyzer for Multi particles from Radio Isotope Beams



# S $\pi$ RIT-TPC structure

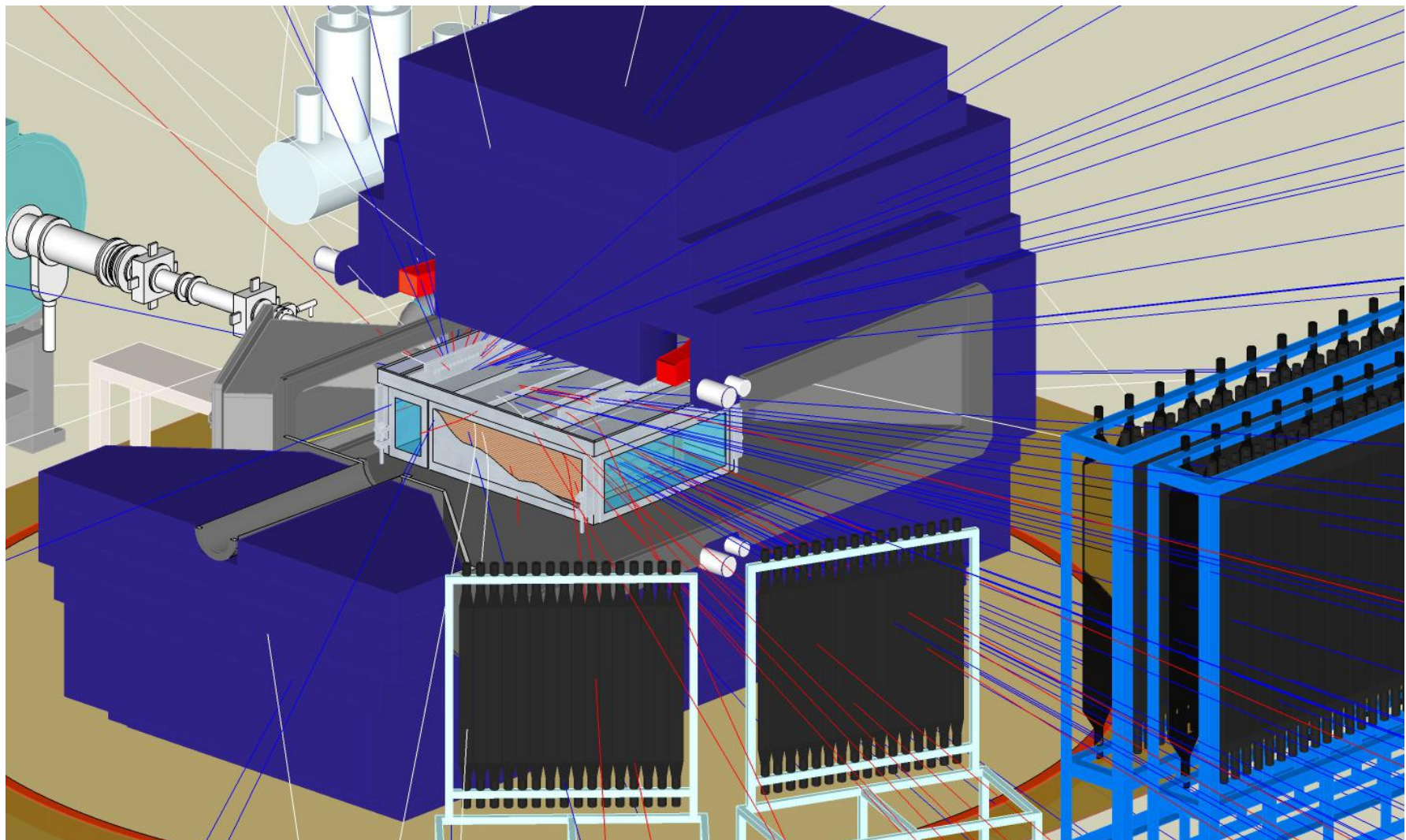
NIM A 784 (2015) 513–517.



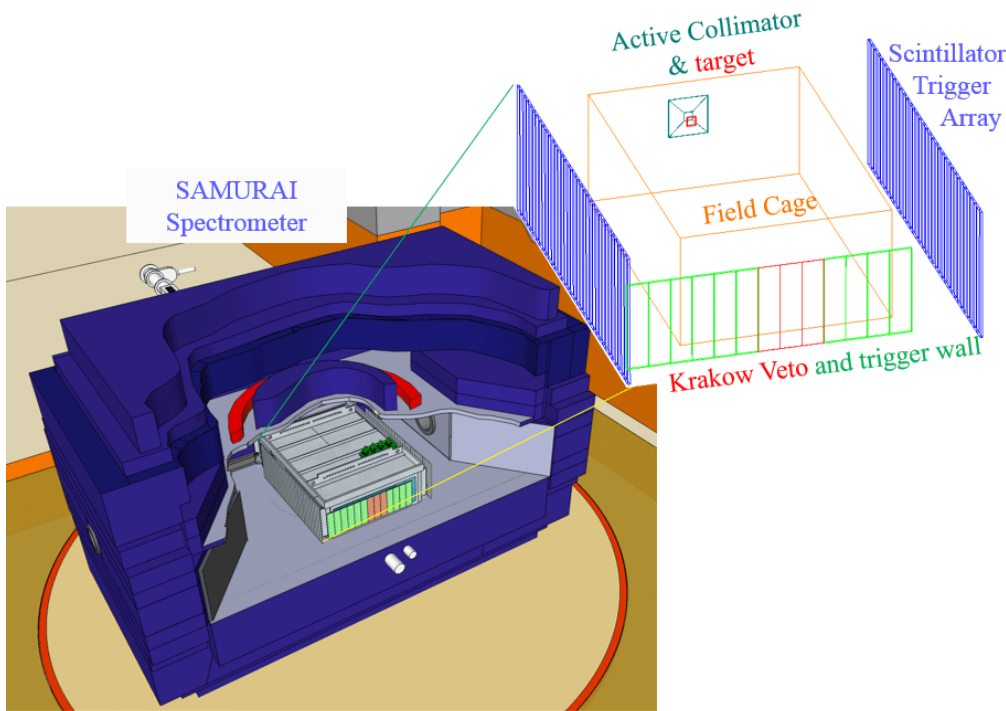
<b>Pad Plane Area</b>	1.3 m x 0.9 m	<b>Gas Gain</b>	2000
<b>Number of Pads</b>	12096 (112x108)	<b>E-field</b>	135 V/cm
<b>Pad size</b>	12 mm x 8 mm	<b>Drift velocity</b>	5.5 cm/ $\mu$ s
<b>Drift Distance</b>	50 cm	<b>dE/dx range</b>	Z=1-8, $\pi$ , p, d, t, He, Li-O
<b>Pressure</b>	1 atmosphere	<b>Two-track res.</b>	2.5 cm
<b>Gas composition</b>	90% Ar + 10% CH <sub>4</sub>	<b>Multiplicity limit</b>	200



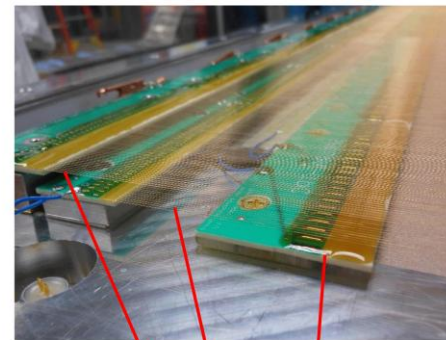
# Simulated results for $^{132}\text{Sn} + ^{124}\text{Sn}$ at 300A MeV



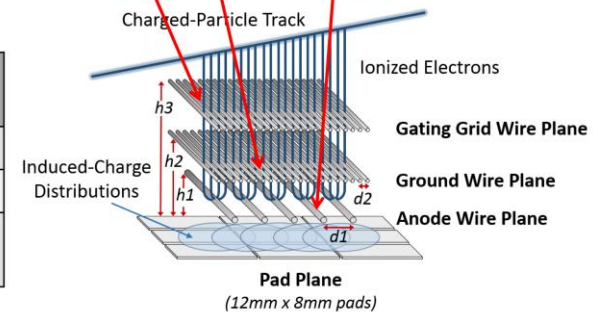
# Trigger system



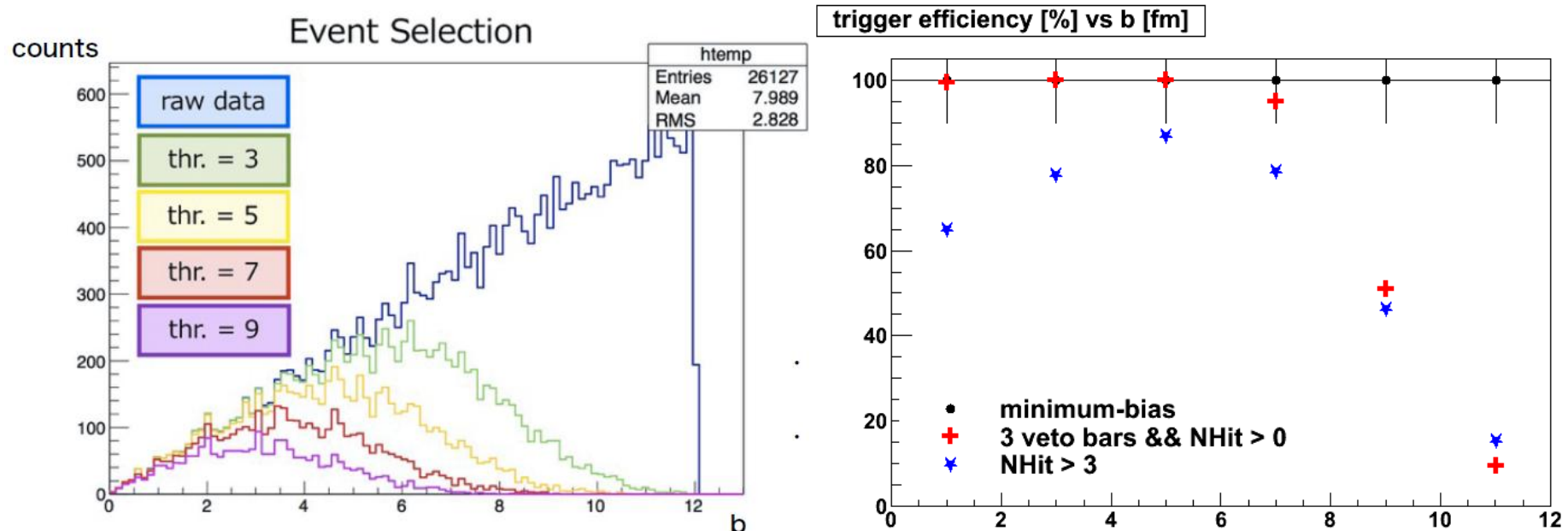
Wire planes



Plane	height (mm)	pitch (mm)	diameter( $\mu\text{m}$ )
Anode	4.05	4	20
Ground	8.1	1	75
Gating grid	14	1	75



# Side array & Front array

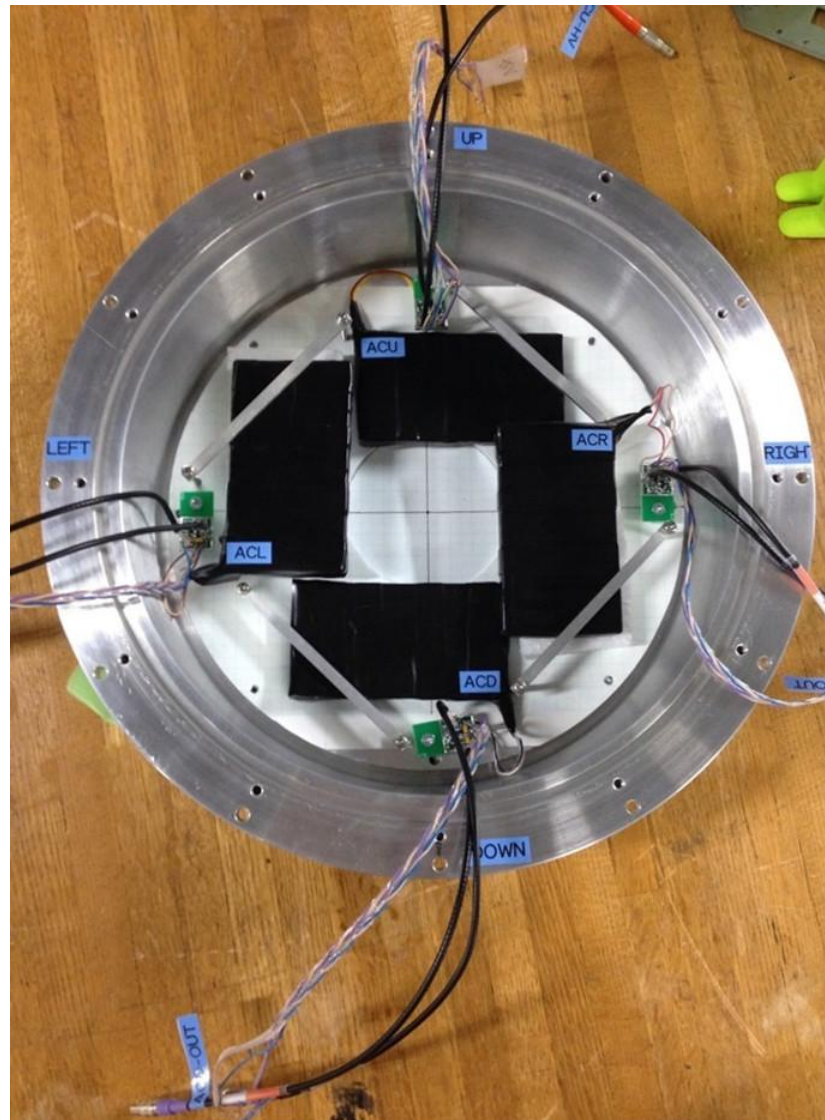
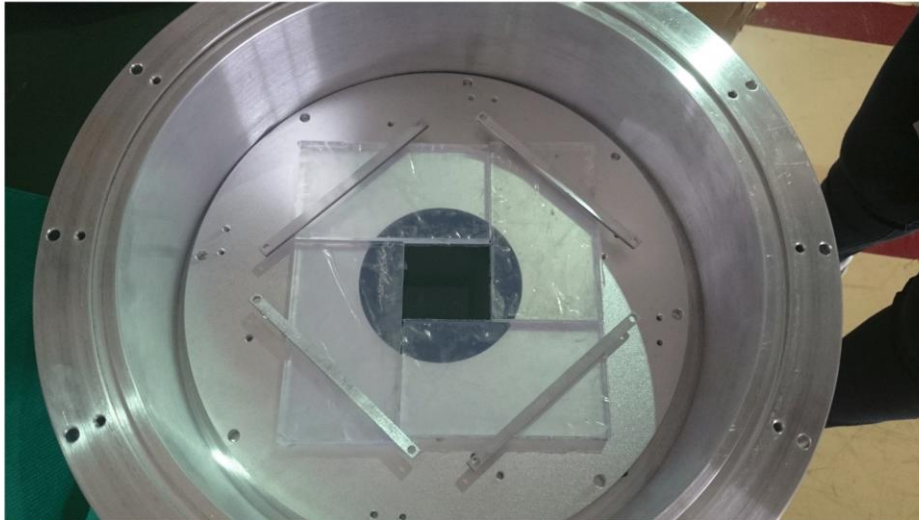


## 【 Input data of Simulation 】

UrQMD code is used for event generation  
 : 300 MeV/A,  $^{132}\text{Sn} + ^{124}\text{Sn}$ ,  $b = 0\text{-}12 \text{ fm}$ ,  
 & SAMURAI magnet magnet field map (0.5 T)

Impact parameter

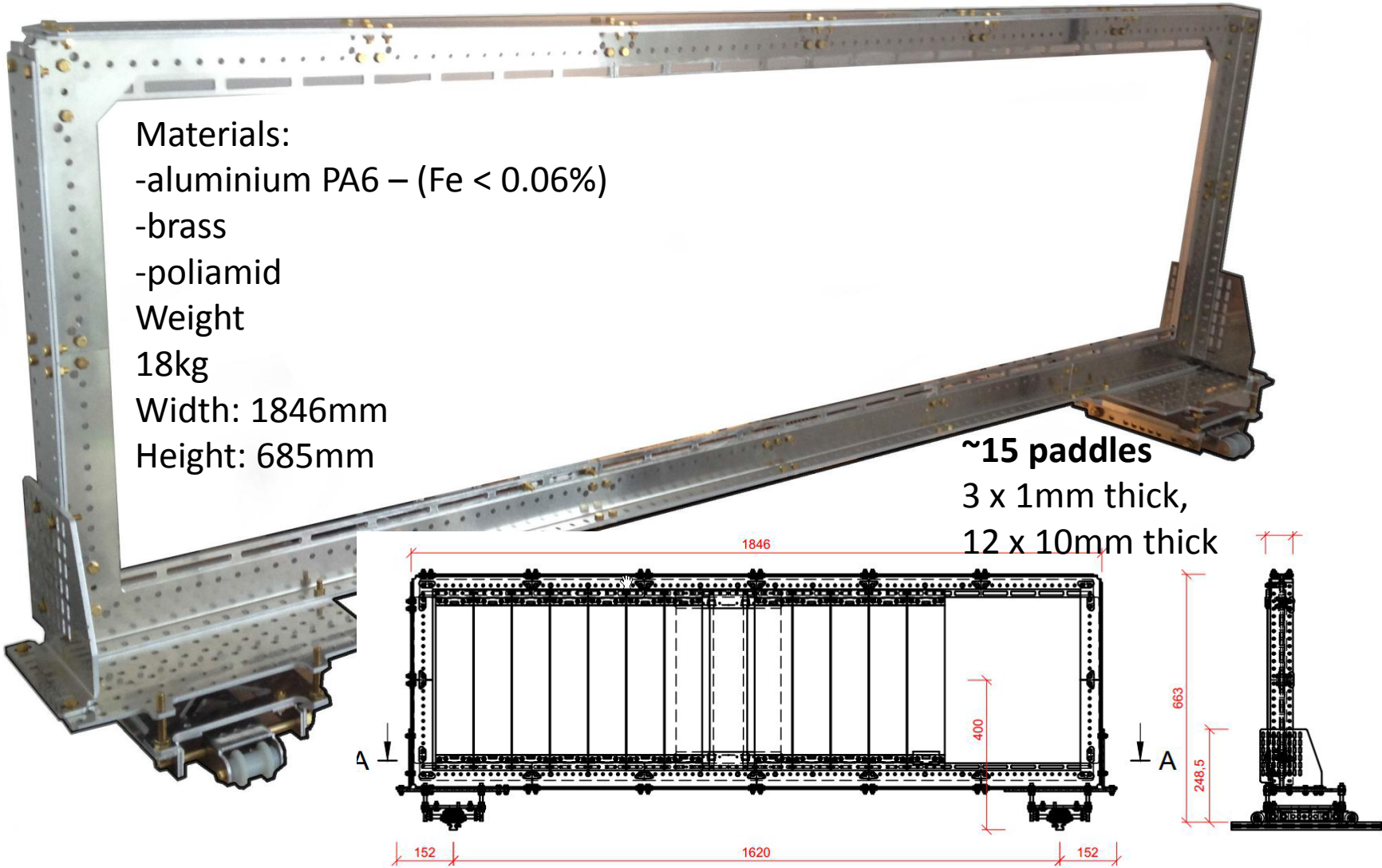
# Active Collimator(Tsingha)



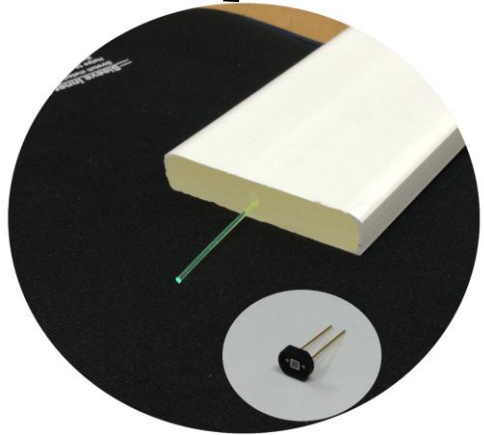
Plastic:BC-408	Size	Wavelength of Max. Emission
	90mm*50mm*6mm	425nm

MPPC:S10931-100P	Size	Peak sensitive wavelength
	3mm*3mm	440nm

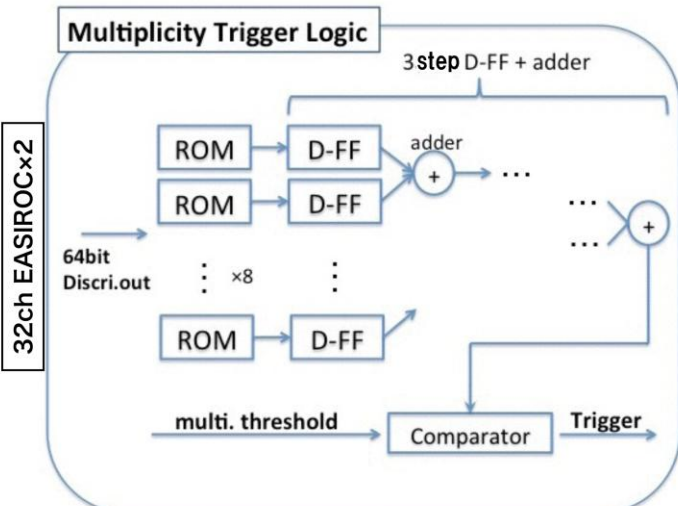
# KATANA(Kracow)



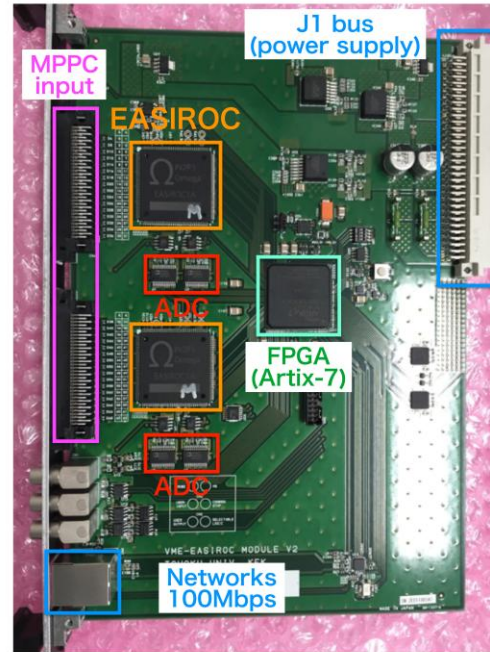
# Multiplicity Array (Kyoto )



# Multiplicity Logic



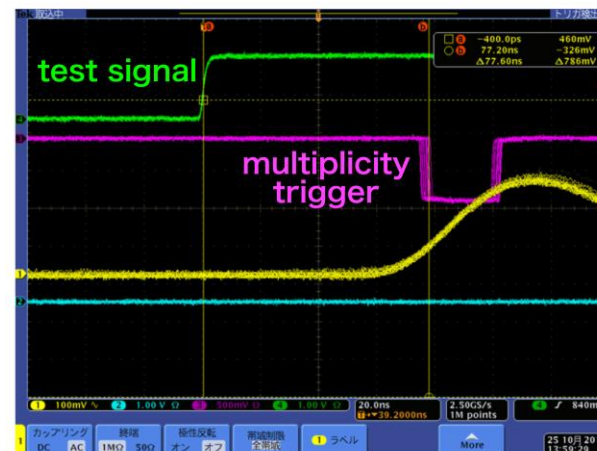
- ROM  
8bit calculation
  - D\_FlipFlop  
for synchronization  
of signal
  - adder circuit  
add two numbers



# VME-EASIROC

## 【Specification】

- I/O (current)  
64ch MPPC input,  
shaper, discriminator, trigger,  
probe (NIM)output
  - ADC  
Pulse height hold type
  - MHTDC in FPGA  
LSB = 1ns  
Leading/Trailing  
Time Window =  $4\mu s$
  - Multiplicity Trigger logic in  
FPGA



- test by function generator  
multiplicity = 4
  - jitter comes from D\_FF
    - ~ 3nsec width
  - rough estimation of timing delay
    - ~ 52nsec
    - by subtracting cable delay

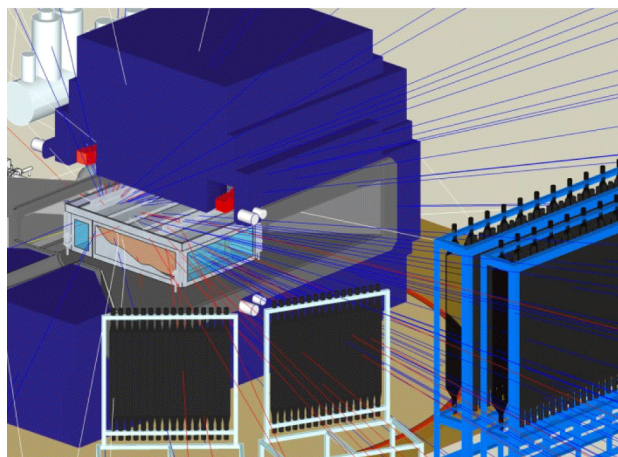
# SYSTEM GET

## Generic Structure (H&S)

$2^{12}$  Final Dyn Rnge

10Gbit B.width

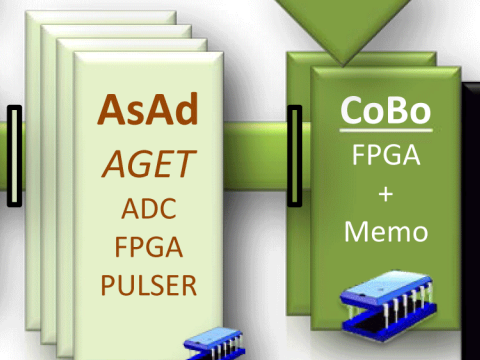
4 Level Digital Trigger



SPiRiT TPC:  
48 AsAd boards  
12 CoBo boards  
2  $\mu$ -TCA crates  
2 MuTANT boards

V. Front End  
Pre-amp &  
Filter  
Protection

ZAP

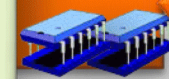


Concentrator  
Embedded  
SystemS:  
.T. Stamp  
.‘0’-suppress  
.Formatting  
.Reduction  
.Calibration  
Slow Control

FARM  
Trigger4  
Event-Building  
Data Control  
S. Control  
Web Service  
Security

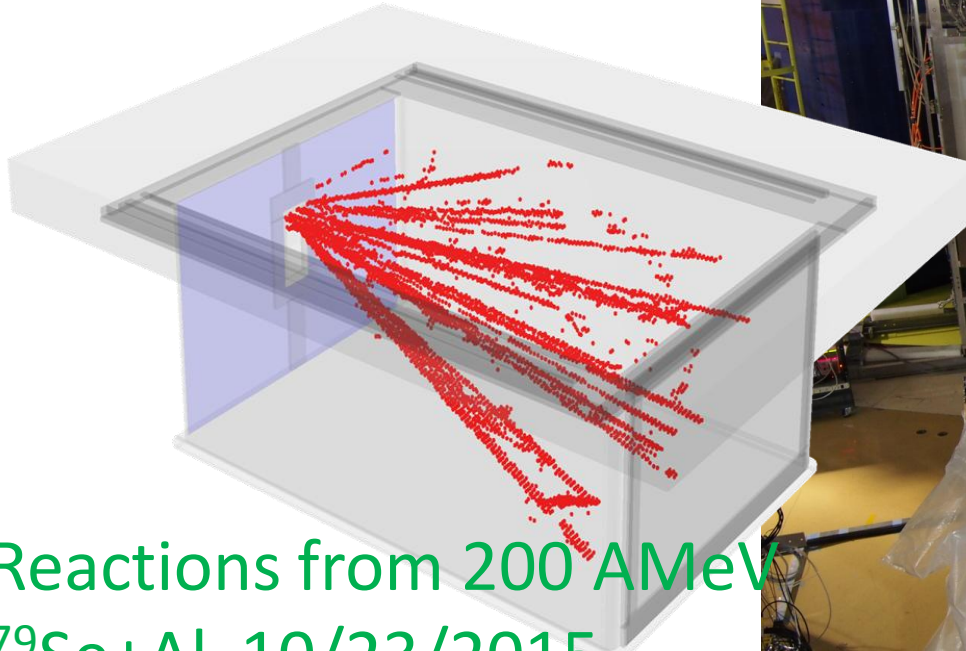
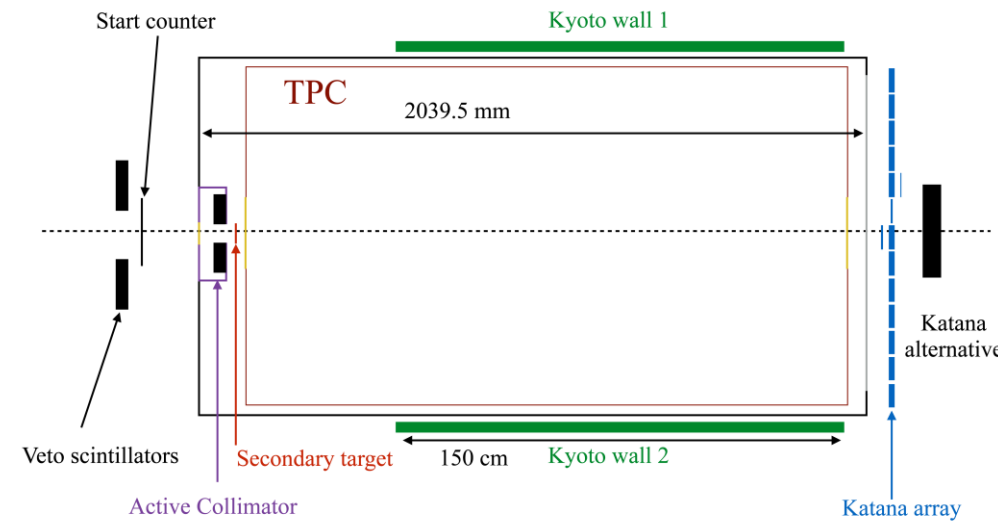
Front-End  
Coding  
 $V, I, EM$  & Temp  
Control/Satb

Mutant  
FPGA

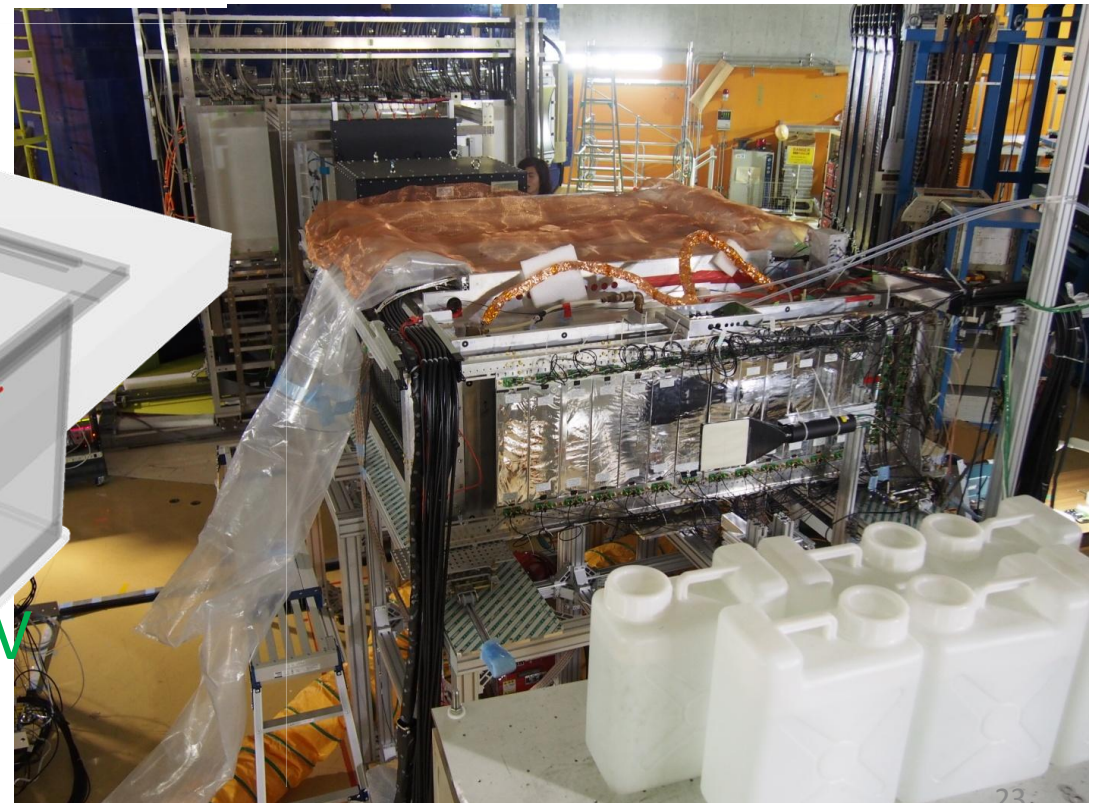


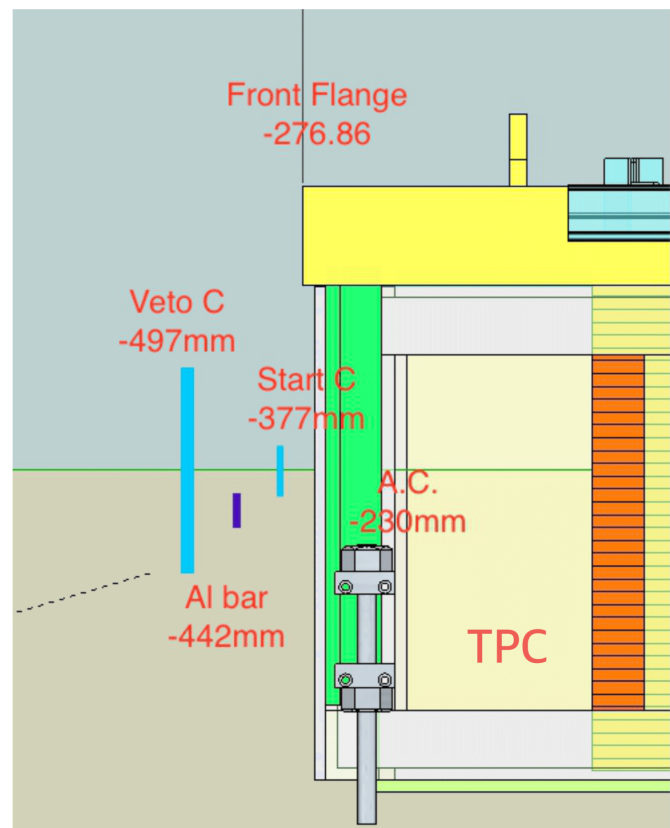
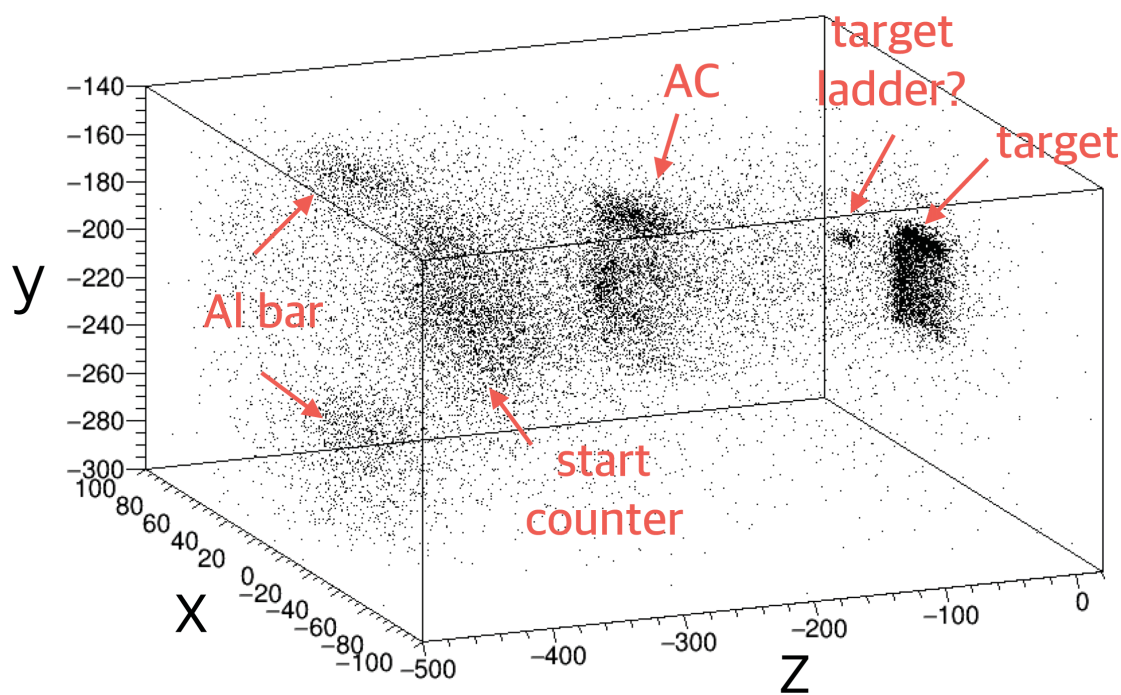
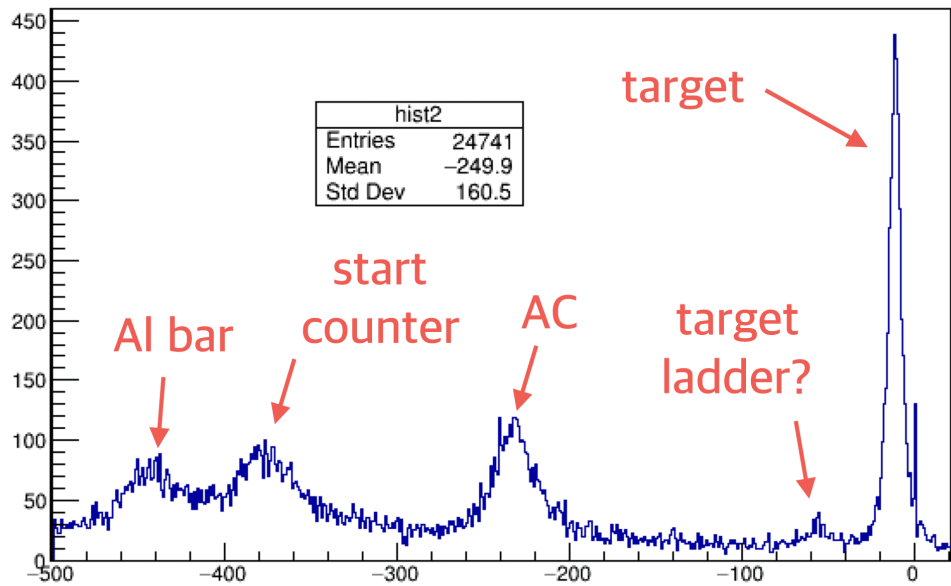
$\mu$ -TCA

3-Level  
.Trigger  
.Clock  
.Calculated  
Selected  
Read-out



Reactions from 200 AMeV  
 $^{79}\text{Se} + \text{Al}$  10/23/2015  
 As Commission Run  
 2015/12/5





# **Summary    Rough roadmap**

- Oct. 2015: Commission of TPC outside SAMURAI magnet.
- Nov. 2015 – Mar, 2016: Data analysis, calibration and improvement and development of online/offline software.
- Jan – Mar, 2016: Remedy any issues arising from the commission run. Insert and test TPC as well as all auxiliary detectors inside SAMURAI magnet. Set up experiment SAMURAI15.
- Early April, 2016: Commission of TPC inside SAMURAI magnet
- Late April, 2016: Performance of SAMURAI15 experiment.
- (May, 2016: Performance of SAMURAI22 experiment.)
- May-October, 2016: Calibration of TPC and all the auxiliary detectors.
- December, 2016: Preliminary results from SAMURAI15 and proposal of new TPC experiments

# S<sub>π</sub>RIT collaboration

**MSU:** Y. Ayyad, J. Barney, G. Cerizza, J. Estee, W. Lynch, C. Santamaria, R. Shane, S. Tangwancharoen, M.B. Tsang

**TAMU:** A. Mcintosh, S. Yennello, M. Chapman

**RIKEN** : T. Isobe, H. Baba, H. Otsu, K-I Yoneda, H. Sato, Y. Nakai, S. Nishimura, A-K. Perrevoort, J. Lee, H. Sakurai, A. Taketani, He Wang, N. Fukuda, H. Takeda, D. Kameda, H. Suzuki, N. Inabe, T. Kubo, M. Kurata-Nishimura,

**Kyoto Univ.:** T. Murakami, M. Kaneko

**Rikkyo Univ.:** K. Ieki

**Korea Univ.:** B. Hong, G. Jhang, J.W. Lee

**CEA:** E. Pollacco

**INP:** J. Lukasik, P. Pawlowski

**Jagiellonian Univ.:** Z. Sosin, P. Lasko

**Tohoku Univ.:** T. Kobayashi

**TITech:** T. Nakamura, Y. Kondo, Y. Togano

**RISP:** H.S. Lee, Y. Kim, Y.J. Kim

**Tsinghua Univ.:** R. Wang, Z. Xiao, Z. Yang

**GSI:** T. Aumann



# 将来

- 1.2万チャンネル超の読み出し回路一式  
～総額7000万円（遺産）
- 個人的な見解：  
一連の当初想定していた実験が終了した段階で回路類を継承するプロジェクトの公募をするのが良い（多分）